

Sl. 45. \$m\$-poljna greda s elastičnim unutrašnjim ležajima, opterećena tlačnom silom (a) i progibna linija pri izvijanju (b)

Progibna se linija pri izvijanju sastoji od \$m\$ polusinusoida (sl. 45b). U ležajnim su presjecima točke infleksije progibne linije, pa na tim mjestima ne utječe fleksijska krutost grede, tako da se konstrukcija ponaša kao zglobna greda.

KONZOLNI STUP S PRIKLJUČENIM PENDEL-STUPOVIMA

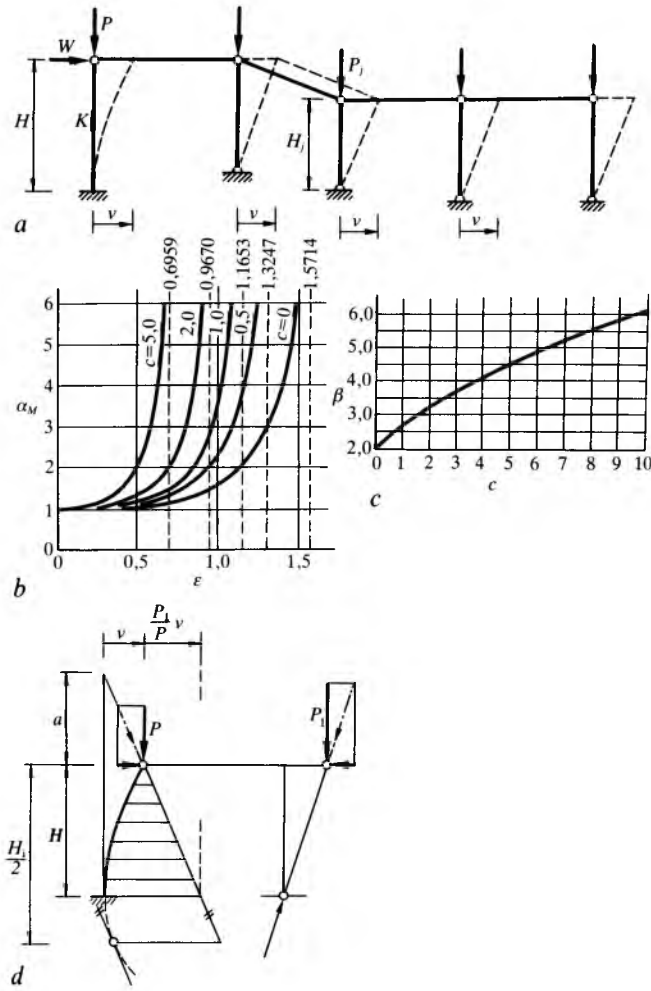
Potpuno upet konzolni stup visine \$H\$ i fleksijske krutosti \$K\$ opterećen je aksijalnom silom \$P\$ i bočnom silom \$W\$ te bočno pridržava niz aksijalno opterećenih pendel-stupova (sl. 46a). Bočni pomak \$v\$ glava stupova jednoznačno definira deformaciju sustava.

Bezdimenzijski je parametar sustava

$$c = \frac{H}{P} \sum_j \frac{P_j}{H_j}, \quad (211)$$

gdje se suma proteže na sve pendel-stupove.

R. Rosman i C. Petersen razradili su *strogoo rješenje* zadatka. Moment uklještenja \$M^1\$ konzolnog stupa bez utjecaja



Sl. 46. Potpuno upet konzolni stup, opterećen aksijalnom i bočnom silom, s priključenim pendel-stupovima (a), dijagram koeficijenta \$\alpha_M\$ povećanja momenta uklještenja konzolnog stupa (b), dijagram koeficijenta \$\beta\$ njegove duljine izvijanja (c), deformacija sustava s jednim pendel-stupom (d)

deformacije i koeficijent \$\alpha_M\$ povećanja tog momenta zbog deformacije iznose

$$M^1 = WH, \quad \alpha_M = 1 + \frac{(1+c)(\sin \epsilon - \epsilon \cos \epsilon)}{\epsilon \cos \epsilon - c(\sin \epsilon - \epsilon \cos \epsilon)}, \quad (212)$$

gdje je koeficijent labilnosti stupa definiran izrazom \$H\sqrt{P/K}\$. Ovisnost koeficijenta \$\alpha_M\$ o \$\epsilon\$ prikazana je na sl. 46b.

Rješenje homogenog zadatka daje jednadžbu bifurkacije ravnoteže:

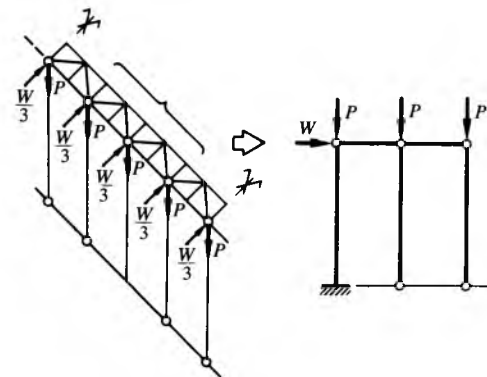
$$\frac{1+c}{c} \epsilon_{kr} = \tan \epsilon_{kr}, \quad (213)$$

gdje je \$\epsilon_{kr}\$ kritična vrijednost koeficijenta labilnosti jednaka \$H\sqrt{P_{kr}/K}\$. Na osnovi relacije \$\beta = \pi/\epsilon_{kr}\$ konstruiran je dijagram koeficijenta \$\beta\$ duljine izvijanja \$H_i = \beta H\$ stupa u ovisnosti o \$c\$ (sl. 46c).

Deformacija sustava s jednim pendel-stupom vidi se na sl. 46d; pri tome je udaljenost

$$a = v \cot \left(\frac{P_1}{P} \frac{v}{H} \right) = \frac{P}{P_1} H. \quad (214)$$

Opisano rješenje primjenjivo je dakako i na prostorne sustave ako je konstrukcijskom dispozicijom izbjegnuta torzija (sl. 47).



Sl. 47. Prostorni sustav od jednog upetog i dvaju priključenih pendel-stupova

Sattlerovom metodom može se izvesti *približan izraz* za koeficijent kritične vrijednosti \$P_{kr}\$ sile \$P\$ (sl. 48a). Pendel-stup \$j\$ (sl. 48b) bočno pridržava silu \$V_j = (P_j/H_j)v\$, pa se na konzolni stup preko prečaka prenosi sila (sl. 48c).

$$V = \sum_j V_j = v \sum_j \frac{P_j}{H_j}. \quad (215)$$

Na osnovi pripadnog momentnog dijagrama \$M\$ (sl. 48d), kojem je dio što se odnosi na silu \$P\$ aproksimiran parabolom, i momentnog dijagrama \$\bar{M}\$ (sl. 48e) zbog djelovanja jedinice sile za određivanje progiba \$v\$, Mohrova formula daje

$$v = \frac{1}{K} \int_0^H M \bar{M} dz = (1,25 + c) \frac{P_{kr} v H^2}{3K}, \quad (216)$$

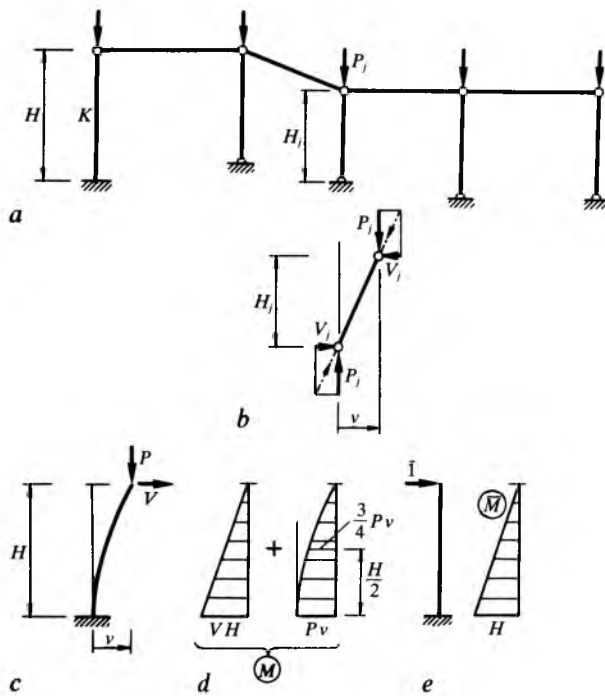
pa je

$$P_{kr} = \frac{3}{1,25 + c} \cdot \frac{K}{H^2} = k \frac{K}{H^2} = \pi^2 \frac{K}{(\beta H)^2}, \quad (217)$$

gdje su koeficijent kritične sile \$k\$ i koeficijent \$\beta\$ duljine izvijanja konzolnog stupa:

$$k = \frac{3}{1,25 + c}, \quad \beta = \pi \sqrt{\frac{1,25 + c}{3}}. \quad (218)$$

Analize, dakle, pokazuju da pendel-stupovi smanjuju koeficijent \$k\$ i povećavaju koeficijent \$\beta\$, pa tako povećavaju opasnost od izvijanja. Ako nema pendel-stupova, bezdimenzijski je parametar \$c=0\$.



Sl. 48. Potpuno upet konzolni stup opterećen aksijalnom silom, s priključenim pendel-stupovima (a), pendel-stup i sile koje na njega djeluju (b), akcije na deformirani upeti stup (c) i pripadni momentni dijagram M (d); upeti stup opterećen jediničnom bezdimenzijskom silom za utvrđivanje progiba v i pripadni momentni dijagram \bar{M} (e)

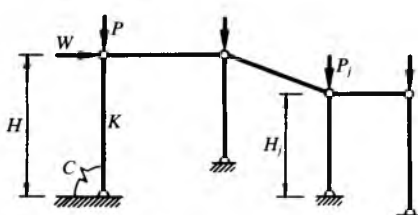
Elastično upet konzolni stup s priključenim pendel-stupovima opterećen je aksijalnom silom P i bočnom silom W (sl. 49).

Parametri su sustava c (211) i stupanj uklještenja

$$\eta = \frac{K}{CH}. \quad (219)$$

Za potpuno je uklještenje $\eta = 0$. Primjenom Sattlerove metode dobiva se

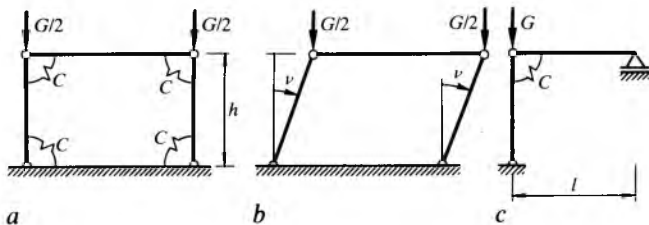
$$\beta = \pi \sqrt{\frac{1}{3} (1,25 + c) + (1 + c) \eta}. \quad (220)$$



Sl. 49. Elastično upet konzolni stup s priključenim pendel-stupovima

OKVIRI OD NEDEFORMABILNIH ŠTAPOVA I PERA

Portal i poluportal. Stupovi i prečka *portala* spojeni su međusobno i s podlogom elastičnim zglobovima krutosti C , a stupovi su opterećeni aksijalnim silama $G/2$ (sl. 50a).



Sl. 50. Portal od stupova i prečke s elastičnim zglobovima i gravitacijskim opterećenjem (a), deformacija pri izvijanju (b); poluportal od stupa i prečke s elastičnim zglobom i gravitacijskim opterećenjem (c)

Deformacija je sustava pri izvijanju određena kutnim pomakom v stupova (sl. 50b).

Energetska metoda. Potencijal sustava sastoji se od deformacijske energije pera i rada sila $G/2$:

$$U = \left(2C - \frac{1}{2} Gh \right) v^2. \quad (221)$$

Uvjet ravnoteže glasi:

$$\frac{dU}{dv} = (4C - G_k h)v = 0, \quad (222)$$

pa je kritična vrijednost opterećenja G pri kojoj nastaje bifurkacija ravnoteže:

$$G_{kr} = \frac{4C}{h}. \quad (223)$$

Metoda za katne sustave. Poprečna sila portalna koja odgovara jediničnom bočnom pomaku prečke, dakle bočna krutost portalna iznosi:

$$S^\circ = \frac{4C}{h^2}, \quad (224)$$

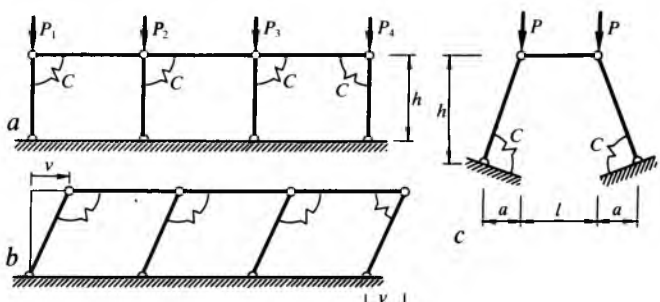
pa je kritično opterećenje:

$$G_{kr} = h S^\circ = \frac{4C}{h}. \quad (225)$$

Analogno je za poluportal (sl. 50c)

$$G_{kr} = \frac{C}{h}. \quad (226)$$

Tropoljni okvir od nedeformabilnih štapova spojenih elastičnim zglobovima opterećen je gravitacijskim silama $P_1 \dots P_4$ (sl. 51a). Treba odrediti kritičnu vrijednost ukupnog opterećenja ΣP okvira.



Sl. 51. Tropoljni okvir (a) i deformacija pri izvijanju (b); trapezni okvir (c)

Pri izvijanju nastaje bočni pomak v prečke (sl. 51b). Sila W na mjestu i u smjeru pomaka v određuje se prema prvom Castigianovu poučku statike (v. Statika građevnih konstrukcija):

$$U_i = 2C \left(\frac{v}{h} \right)^2, \quad (227a)$$

$$W = \frac{dU_i}{dv} = \frac{4C}{h^2} v, \quad (227b)$$

pa je bočna krutost okvira:

$$S^\circ = \frac{4C}{h^2}, \quad (228)$$

a kritično opterećenje

$$(\Sigma P)_{kr} = h S^\circ = \frac{4C}{h}. \quad (229)$$

Trapezni okvir. Kritična je vrijednost čvornih sila P trapeznog okvira (sl. 51c) prema N. Bezuhovu:

$$P_{kr} = \frac{hl}{(a^2 + h^2)l + 2a^3} C, \quad (230)$$

gdje su a , h i l veličine označene na sl. 51c.